Zeitschrift: Schweizerische Bauzeitung

Herausgeber: Verlags-AG der akademischen technischen Vereine

Band: 74 (1956)

Heft: 46

Artikel: Lineare Torsionsschwingungen mit starker Dämpfung

Autor: Chen, Yian-Nian

DOI: https://doi.org/10.5169/seals-62741

Nutzungsbedingungen

Die ETH-Bibliothek ist die Anbieterin der digitalisierten Zeitschriften auf E-Periodica. Sie besitzt keine Urheberrechte an den Zeitschriften und ist nicht verantwortlich für deren Inhalte. Die Rechte liegen in der Regel bei den Herausgebern beziehungsweise den externen Rechteinhabern. Das Veröffentlichen von Bildern in Print- und Online-Publikationen sowie auf Social Media-Kanälen oder Webseiten ist nur mit vorheriger Genehmigung der Rechteinhaber erlaubt. Mehr erfahren

Conditions d'utilisation

L'ETH Library est le fournisseur des revues numérisées. Elle ne détient aucun droit d'auteur sur les revues et n'est pas responsable de leur contenu. En règle générale, les droits sont détenus par les éditeurs ou les détenteurs de droits externes. La reproduction d'images dans des publications imprimées ou en ligne ainsi que sur des canaux de médias sociaux ou des sites web n'est autorisée qu'avec l'accord préalable des détenteurs des droits. En savoir plus

Terms of use

The ETH Library is the provider of the digitised journals. It does not own any copyrights to the journals and is not responsible for their content. The rights usually lie with the publishers or the external rights holders. Publishing images in print and online publications, as well as on social media channels or websites, is only permitted with the prior consent of the rights holders. Find out more

Download PDF: 12.12.2025

ETH-Bibliothek Zürich, E-Periodica, https://www.e-periodica.ch

Lineare Torsionsschwingungen mit starker Dämpfung

DK 621-752

Professor Dr. Gustav Eichelberg zu seinem 65. Geburtstag am 21. November gewidmet

von Ing. Dr. Yian-Nian Chen, Gebrüder Sulzer, Winterthur

In meiner früheren Arbeit ¹), wurde ein graphisches Verfahren zur Lösung linearer Torsionsschwingungen unter Berücksichtigung der Dämpfung und der Masse der elastischen Glieder entwickelt. Die Arbeit beschränkt sich auf kleine Dämpfungen der elastischen Glieder und auf Erregung an nur einer am Ende des Systems liegenden Drehmasse. Für Erregung an mehr als zwei Drehmassen musste mit Charakteristiken operiert werden. In der vorliegenden Arbeit wird gezeigt, dass das Verfahren sich auf starke Dämpfung und Erregung an beliebig vielen Drehmassen verallgemeinern lässt.

1. Mehrmassensysteme mit Erregung an einer beliebigen Drehmasse

Bild 1 zeigt ein schwingungsfähiges System mit n Leitungsteilen und n+1 Drehmassen sowie folgenden Bezeichnungen:

 Θ_j , R_j = Massenträgheitsmoment bzw. Reibungsbeiwert der Drehmasse j;

 $\vartheta_j, r_j = \text{Massenträgheitsmoment}$ bzw. Reibungsbeiwert je Längeneinheit des Leitungsteils j;

 $k_j = J_j \, G_j = ext{Profilwert}$ des Leitungsteils j, wobei J_j das polare Flächenträgheitsmoment des Querschnittes des Leitungsteils j und G_j dessen Gleitmodul sind;

 $\mathit{M}_{j}\,e^{i\,\omega\,t}=$ Erregungsdrehmoment auf die Drehmasse j mit der Kreisfrequenz $\omega;$

 $\varphi_j = ext{Drehwinkel}$ des Leitungsteils j;

t = Zeit

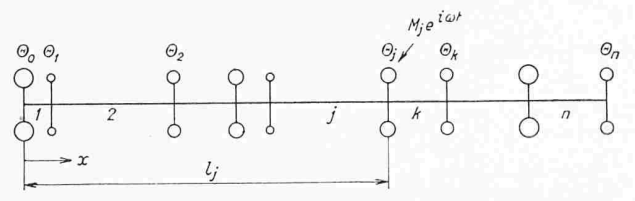


Bild 1: (n+1)-Massensystem mit Erregung an der einzigen Masse j.

Die Dämpfung des Systems wird als proportional der Winkelgeschwindigkeit angenommen. Für einen beliebigen Leitungsteil j gilt folgende Bewegungsgleichung:

$$\frac{\frac{\partial^2 \varphi_j}{\partial t^2} + \frac{r_j}{\vartheta_j} \frac{\partial \varphi_j}{\partial t} - \frac{J_j G_j}{\vartheta_j} \frac{\partial^2 \varphi_j}{\partial x^2} = 0}$$

deren Lösung lautet

$$\varphi_i = A_i e^{i \omega t + \omega x/c_j + \alpha_j} + B_j e^{i(\omega t - \omega x/c_j + \beta_j)}$$

Hierbei sind A_j , B_j , α_j , β_j die Integrationskonstanten und c_j die Fortpflanzungsgeschwindigkeit der elastischen Torsionswellen. Nach Einsetzen von φ_j in die partielle Differentialgleichung folgt 2)

$$c_j = \sqrt{rac{J_j G_j}{artheta_j}} \sqrt{1 + i rac{r_j^2}{\omega artheta_j}}$$

 Torsionsschwingungen unter Berücksichtigung der Masse und der Dämpfung der elastischen Glieder, «Zeitschrift für angewandte Mathematik und Physik» Bd. 5, S. 293-316, 1954

2) S. 295 in der unter 1) genannten Arbeit

Diese Formel vereinfacht sich unter Einführung der Ausdrücke

$$ext{tg}\,\psi_j = rac{r_j}{\omega\,artheta_j} \;\;\; ext{und} \;\;\; c_j{}^* = \sqrt{rac{J_j\,G_j}{artheta_j}}$$

Zl

$$c_j = c_j^* \sqrt{\cos \psi_j} \left(\cos rac{\psi_j}{2} + i \sin rac{\psi_j}{2}
ight)$$

Der reziproke Wert von c_i wird dann

$$\begin{split} \frac{1}{c_j} &= \frac{1}{c_j^*} \frac{1}{\sqrt{\cos \psi_j}} \left(\cos \frac{\psi_j}{2} - i \sin \frac{\psi_j}{2} \right) \\ &= \frac{1}{c_i^*} \left(a_j - i b_j \right) \end{split}$$

mit den beiden Grössen a_i und b_i :

$$a_j = rac{\cosrac{\psi_j}{2}}{\sqrt{\cos\psi_j}}$$
 , $b_j = rac{\sinrac{\psi_j}{2}}{\sqrt{\cos\psi_j}}$

Die Lösung für φ_i wird

(1)
$$\varphi_{j}(x, t) = A_{j}e^{u_{j}x}e^{i(\omega t + v_{j}x + \alpha_{j})} + B_{j}e^{-u_{j}x}e^{i(\omega t - v_{j}x + \beta_{j})} = (\mathbf{A}_{j}e^{z_{j}x} + \mathbf{B}_{j}e^{-z_{j}x})e^{i\omega t} = \hat{\varphi}_{j}e^{i\omega t}$$

mit dem Ausdruck Impedanz z_i :

$$z_j = u_j + i v_j = \frac{b_j \omega}{c_j^*} + i \frac{a_j \omega}{c_j^*}$$

und

$$egin{aligned} \mathbf{A}_j &= A_j e^{i \, lpha_j} & \mathbf{B}_j &= B_j e^{i \, eta_j} \ & \hat{arphi}_j &= \mathbf{A}_j \, e^{z_j \, x} \, + \, \mathbf{B}_j \, e^{- \, z_j \, x} \end{aligned}$$

Die komplexen Grössen \mathbf{A}_j und \mathbf{B}_j sind die Intensität der nach links bzw. rechts wandernden Teilwelle und $\hat{\boldsymbol{\varphi}}_j$ die Amplitude der sich aus \mathbf{A}_j und \mathbf{B}_j bildenden stehenden Welle. Somit ist die Gleichung (1) ohne jede Konzession an die Dämpfung abgeleitet und gilt ganz allgemein.

Für die Fortpflanzungsgeschwindigkeit ist nur der reelle Teil von c, nämlich $c^*\sqrt{\cos\psi}\cdot\cos\psi/2$ massgebend. Die Differenz zwischen c und c^* nimmt mit wachsender Dämpfung

Wirkt ein Erregungsmoment $M_j e^{i\,\omega\,t}$ auf eine beliebige Drehmasse j, so gilt für den Drehwinkel φ dieser Masse:

$$egin{aligned} \Theta_j rac{\partial^2 arphi}{\partial t^2} + R_j rac{\partial arphi}{\partial t} + k_j \Big(rac{\partial arphi_j}{\partial x}\Big)_{arphi_j = arphi} - k_k \Big(rac{\partial arphi_k}{\partial x}\Big)_{arphi_k = arphi} = \\ &= M_j e^{i \, \omega \, t} \end{aligned}$$

Einsetzen der Ausdrücke φ_j und φ_k von der Gleichung (1) in die obige Differentialgleichung, unter Berücksichtigung der Kontinuitätsbedingung $\varphi=\varphi_j=\varphi_k$ bei $x=l_j$, ergibt

(2)
$$[(Z_j + k_j z_j) \mathbf{A}_j e^{z_j l_j} + (Z_j - k_j z_j) \mathbf{B}_j e^{-z_j l_j}] - k_k z_k (\mathbf{A}_k e^{z_k l_j} - \mathbf{B}_k e^{-z_k l_j}) = M_j$$

und

$$\mathbf{A}_{i}e^{z_{j}l_{j}} + \mathbf{B}_{i}e^{-z_{j}l_{j}} = \mathbf{A}_{k}e^{z_{k}l_{j}} + \mathbf{B}_{k}e^{-z_{k}l_{j}}$$

Hierin ist

$$Z_j = -\omega^2 \,\Theta_j + i \,\omega \,R_j = -p_j + i \,q_j$$

die Impedanz der Drehmasse j.

Die Berechnung wird getrennt von jeder der beiden Endmassen 0 und n aus vorgenommen. Für die Drehmasse 0 gilt die Randbedingung

$$Z_0 (\mathbf{A}_1 + \mathbf{B}_1) - k_1 z_1 (\mathbf{A}_1 - \mathbf{B}_1) = 0$$

Wird der Vektor ($\mathbf{A}_1 + \mathbf{B}_1$) zunächst beliebig angenommen, so können die beiden Vektoren \mathbf{A}_1 und \mathbf{B}_1 aus dieser Gleichung graphisch bestimmt werden 3). Sie sind die Teilwellen in der Leitung 1 unmittelbar rechts von der Drehmasse 0. \mathbf{A}_1 kommt von und \mathbf{B}_1 wandert zu der Drehmasse 1. An dieser betragen sie $\mathbf{A}_1 e^{z_1 l_1}$ und $\mathbf{B}_1 e^{-z_1 l_1}$. Ueber die Masse 1 kommt \mathbf{A}_1 vom Leitungsteil 2 und über sie wandert \mathbf{B}_1 in den Leitungsteil 2, und zwar mit den Grössen $\mathbf{A}_2 e^{z_2 l_1}$ und $\mathbf{B}_2 e^{-z_2 l_1}$. Diese lassen sich aus der Randbedingung der Masse 1:

$$\begin{split} &\frac{1}{k_2|z_2|^2}\bar{z}_2 [\,(Z_1+k_1z_1)\,\mathbf{A}_1 e^{z_1 l_1} + (Z_1-k_1z_1)\,\mathbf{B}_1 e^{-\,z_1 l_1}] \\ &= \mathbf{A}_2 e^{z_2 l_1} - \mathbf{B}_2 e^{-\,z_2 l_1} \end{split}$$

bestimmen 4). Hierbei ist $\overline{z_2} = u_2 - i v_2$ die konjugierte Impedanz von z_2 . Die beiden Wellen können auf diese Weise über die Drehmassen 2, 3, 4, ..., (j-l) bis in die Leitung j verfolgt werden. Unmittelbar links von der Drehmasse j betragen sie $\mathbf{A}_i e^{z_j l_j}$ und $\mathbf{B}_i e^{-z_j l_j}$ (Bild 2).

Die Berechnung wird an dieser Stelle abgebrochen. Man fange dafür mit einer neuen Berechnung von der anderen Endmasse n an. Man nehme für die in der Leitung n unmittelbar links von der Masse n herrschende, resultierende Welle $(\mathbf{A}_n \, e^{z_n l_n} + \mathbf{B}_n \, e^{-z_n l_n})$ einen beliebigen Vektor an und konstruiere daraus die Vektoren $\mathbf{A}_k \, e^{z_k l_j}$ und $\mathbf{B}_k \, e^{-z_k l_j}$ für die in der Leitung k unmittelbar rechts von der Drehmasse j herrschenden Wellen (Bild 3).

Wäre der Vektor ($\mathbf{A}_n\,e^{z_n\,l_n}\,+\,\mathbf{B}_n\,e^{-\,z_n\,l_n}$) der Grösse und Richtung nach richtig gewählt, so müssten die beiden folgenden Vektoren

$$\hat{\varphi}_k = \mathbf{A}_k e^{z_k l_j} + \mathbf{B}_k e^{-z_k l_j}$$

und

$$\hat{\varphi}_j = \mathbf{A}_j \, e^{z_j \, l_j} + \mathbf{B}_i \, e^{-\, z_j \, l_j}$$

gleich sein. Um diese Gleichheit zu erreichen, ist der ganze Vektorplan von Bild 3 zu drehen und zu vergrössern bzw. zu verkleinern. Bild 3 ist hier bereits in dieser Weise korrigiert.

Man konstruiere dann aus den Vektoren $\mathbf{A}_j\,e^{z_j\,l_j}$ und $\mathbf{B}_i\,e^{-\,z_j\,l_j}$ den Vektor

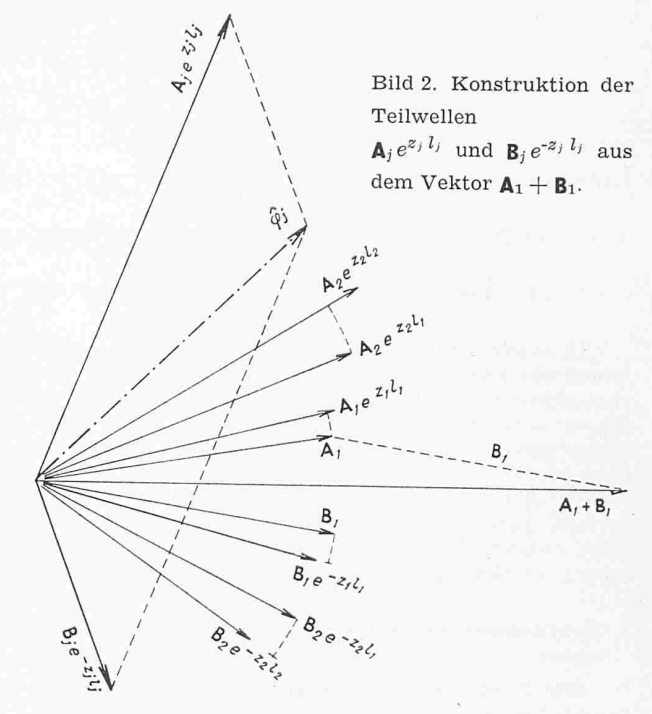
$$[(Z_j + k_j z_j) \mathbf{A}_j e^{z_j l_j} + (Z_j - k_j z_j) \mathbf{B}_j e^{-z_j l_j}]$$

(Bild 4) und aus $\mathbf{A}_k e^{z_k l_j}$ und $\mathbf{B}_k e^{-z_k l_j}$ den Vektor

$$-k_k z_k (\mathbf{A}_k e^{z_k l_j} - \mathbf{B}_k e^{-z_k l_j})$$

zum Vektor M_j (Bild 5). Da M_j als Amplitude des Erregungsdrehmomentes bereits gegeben ist, so sind nunmehr die Teilwellen $\mathbf A$ und $\mathbf B$ sowie die Schwingungsamplituden $\hat{\boldsymbol \varphi}$ in allen Leitungsteilen durch Vergleich der entsprechenden Vektoren mit dem M_j bestimmbar.

Die beiden Teilwellen ${\tt A}$ und ${\tt B}$ erfahren beim Durchschreiten der Drehmasse j durch den erregenden Impuls eine Verstärkung. Sie speichern hier somit ihre durch die Dämpfung zu vernichtenden Energien zum voraus auf. Die Schwingungsamplituden werden deshalb nur so gross sein, dass der Energieverlust gerade durch die Erregung gedeckt werden kann.



3. Gekoppelte Schwingungssysteme

Zwei Schwingungssysteme (0...n) und (r...w) seien an ihren Massen d und u durch ein Getriebe von der Uebersetzung \ddot{u} gekoppelt (Bild 6). Die Erregung erfolge an der einzigen Drehmasse \dot{j} . Für die Drehmassen d und u gelten die Bewegungsgleichung

(3)
$$\left(\Theta_{d} \frac{\partial^{2} \varphi}{\partial t^{2}} + R_{d} \frac{\partial \varphi}{\partial t} + k_{d} \frac{\partial \varphi_{d}}{\partial x} - k_{e} \frac{\partial^{2} \varphi_{e}}{\partial x} \right)_{x = l_{d}} =$$

$$= - \ddot{u} \left(\Theta_{u} \frac{\partial^{2} \varphi}{\partial t^{2}} + R_{u} \frac{\partial \varphi}{\partial t} + k_{u} \frac{\partial^{2} \varphi_{u}}{\partial \xi} - k_{v} \frac{\partial^{2} \varphi_{v}}{\partial \xi} \right)_{\xi = l_{u}}$$

und die Kontinuitätsbedingung

$$(4) \qquad \varphi_{x=l_d} = \frac{1}{ii} \, \varphi_{\xi=l_u}$$

Aus der Gleichung (3) folgt

(5)
$$[(Z_d + k_d z_d) \mathbf{A}_d e^{z_d l_d} + (Z_d - k_d z_d) \mathbf{B}_d e^{-z_d l_d}] - \\ - k_e z_e (\mathbf{A}_e e^{z_e l_d} - \mathbf{B}_e e^{-z_e l_d}) = \\ = -\ddot{u} [(Z_u + k_u z_u) \mathbf{A}_u e^{z_u l_u} + (Z_u - k_u z_u) \mathbf{B}_u e^{-z_u l_u}] - \\ - k_v z_v [\mathbf{A}_v e^{z_v l_u} - \mathbf{B}_v e^{-z_v l_u}]$$

Die Berechnung wird von den Drehmassen 0, r und w aus genau gleich durchgeführt wie im vorangehenden Abschnitt. Die Vektoren

$$(\mathbf{A}_1 + \mathbf{B}_1)$$
 sowie $(\mathbf{A}_s + \mathbf{B}_s)$ und $[\mathbf{A}_w e^{z_w l_w} + \mathbf{B}_w e^{-z_w l_w}]$

werden deshalb zunächst angenommen. Die beiden letzteren werden dann so korrigiert, dass die daraus für $\xi=l_{\rm u}$ berechneten Vektoren

$$\hat{\varphi_u} = \mathbf{A}_u \, e^{z_u \, l_u} + \mathbf{B}_u \, e^{-z_u \, l_u}$$

und

$$\hat{\varphi}_v = \mathbf{A}_v \, e^{z_v \, l_u} + \mathbf{B}_v \, e^{-z_v \, l_u}$$

beide gleich

$$\ddot{u}\,\hat{\varphi}_d = \ddot{u}\,(\mathbf{A}_d\,e^{z_d\,l_d} + \mathbf{B}_d\,e^{-z_dl_d})$$

sind. Hierbei ist $\hat{\varphi}_d$ der aus $(\mathbf{A}_1 + \mathbf{B}_1)$, für Leitungsteil $d\colon x = l_d$ konstruierte Vektor. Aus der Gleichung (5) lassen sich dann die beiden Vektoren $\mathbf{A}_e \ e^{z_e \ l_d}$ und $\mathbf{B}_e \ e^{-z_e \ l_d}$ bestimmen. Sie sind die vom Leitungsteil d auf den Leitungsteil e übergehenden Teilwellen. Der weitere Vorgang der Berechnung unterscheidet sich dann nicht mehr von jenem eines nicht gekoppelten Systemes.

³⁾ S. 297 in der unter 1) genannten Arbeit

⁴⁾ S. 301-302

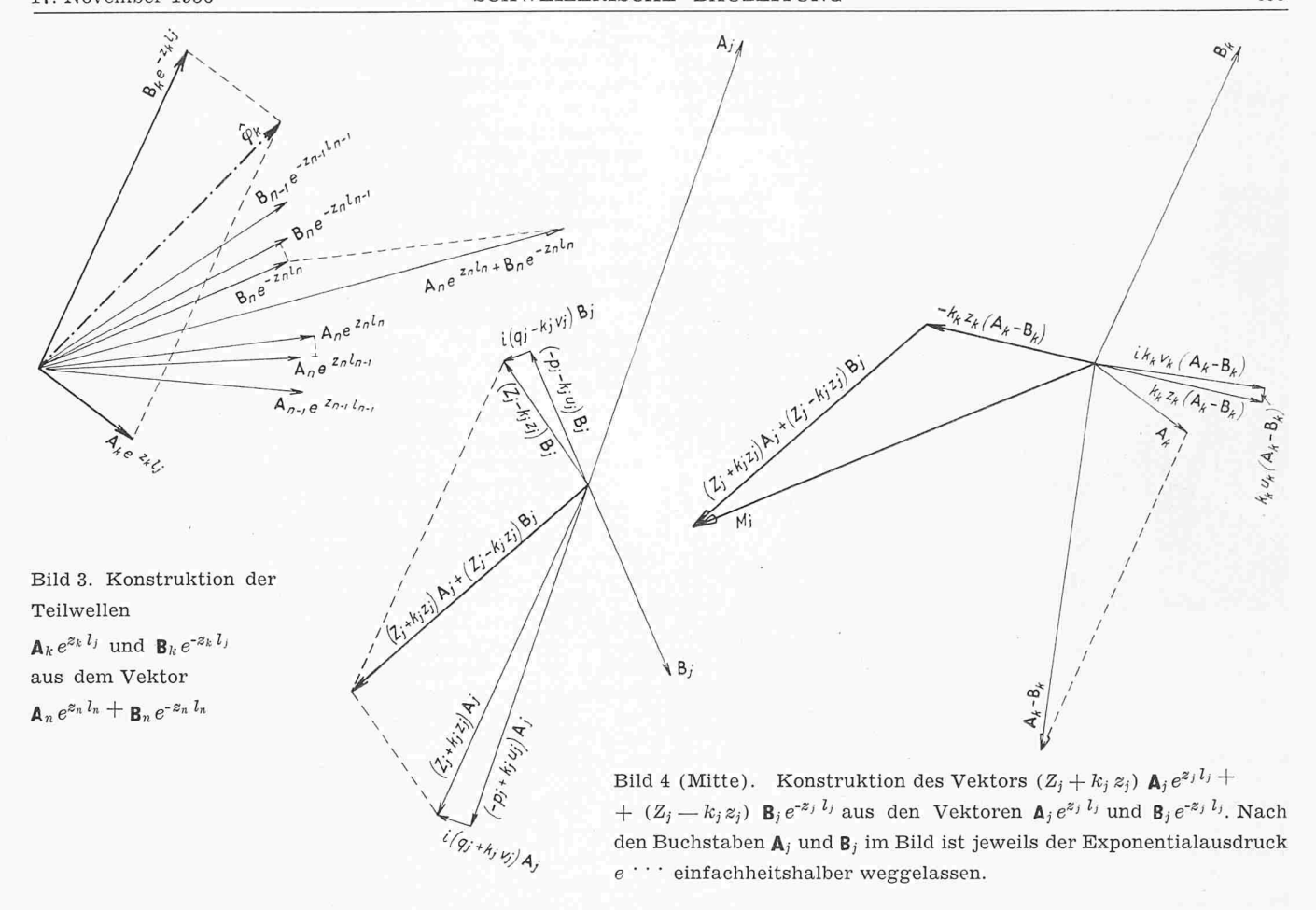


Bild 5 (rechts). Konstruktion des Vektors M_j aus $\mathbf{A}_k e^{z_k l_j}$, $\mathbf{B}_k e^{-z_k l_j}$ und $(Z_j + k_j z_j)$ $\mathbf{A}_j e^{z_j l_j} + (Z_j - k_j z_j)$ $\mathbf{B}_j e^{-z_j l_j}$. Der Exponentialausdruck e^{-z_j} ist im Bild weggelassen.

4. Schwingungen mit Erregung an mehreren Drehmassen

Wenn ein Schwingungssystem durch verschiedene Drehmomente an verschiedenen Drehmassen erregt wird, lässt sich die Wirkung der Drehmomente wegen der Linearität der betreffenden Differentialgleichung superponieren. Somit kann die Aufgabe in mehrere Teilaufgaben zerlegt werden. In jeder von ihnen erhält das System nur ein einziges Drehmoment. Die Anzahl der Teilaufgaben ist daher gleich jener der Drehmomente. Jede Teilaufgabe lässt sich dann nach dem entwickelten Verfahren behandeln. Die resultierende Schwingungsamplitude an einer beliebigen Stelle ist gleich der vektoriellen Summe der entsprechenden Amplituden aus den Teilaufgaben, unter Berücksichtigung der Phasenunterschiede der Drehmomente.

5. Zusammenfassung

Lineare Torsionsschwingungen mit Erregung an einer beliebigen Drehmasse und mit starker Dämpfung der elastischen Glieder sowie unter Berücksichtigung der Masse von diesen,

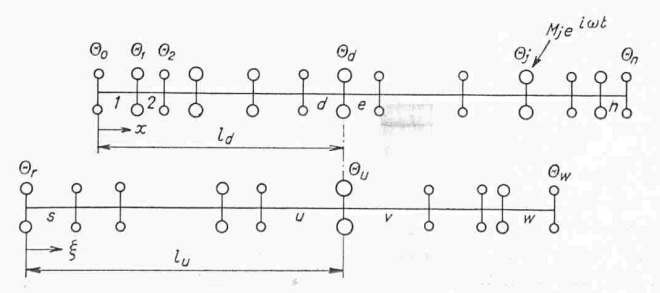


Bild 6: Gekoppeltes Schwingungssystem.

lassen sich durch Behandlung der Schwingungen als wandernde, elastische Torsionswellen exakt lösen. Das Verfahren kann auf Systeme mit Erregung an mehreren Drehmassen angewendet werden. Hierzu ist die Aufgabe in die Teilaufgaben mit Erregung an nur einer Drehmasse aufzuteilen. Durch Superposition der Teillösungen folgen die resultierenden Schwingungen.

Adresse des Verfassers beim Titel

Schweizerischer Wasserwirtschaftsverband

DK 621.2.09

Am 30. August des Jahres versammelte sich der SWV zu seiner 45. Hauptversammlung im Parkhotel Waldhaus in Flims. Der Präsident, Nationalrat Dr. K. Obrecht (Solothurn), konnte eine Rekordbeteiligung von 270 Mitgliedern und Gästen melden. Seiner reich dokumentierten Ansprache entnehmen wir die folgenden Stellen.

«Der Energieeinfuhr von 1194 Mio kWh (Vorjahr 534) oder 20 % der inländischen Energieverwendung stand eine Ausfuhr von 441 Mio kWh (Vorjahr 653) gegenüber, woraus ein Einfuhrüberschuss von 753 Mio kWh resultierte, während im Vorjahreswinter ein Ausfuhrüberschuss von 119 Mio kWh zu verzeichnen war. Die Energieerzeugung in thermischen Anlagen erreichte 150 Mio kWh gegenüber nur 32 Mio kWh im Vorwinter. Die Aufrechterhaltung unserer Energieversorgung basierte also sehr stark auf einer bedeutenden Einfuhr. Dies prekäre Lage entstand trotz der ausserordentlichen Anstrengungen der letzten Jahre, unsere Wasserkräfte auszubauen. Diese erforderten für alle unsere Ingenieurbureaux, Baufirmen und Materiallieferanten eine aussergewöhnliche Anspannung und machten den Einsatz grosser Kontingente ausländischer Arbeitskräfte nötig.